



UFMT

UNIVERSIDADE FEDERAL DE MATO GROSSO

FACULDADE DE ENGENHARIA – CAMPUS VÁRZEA GRANDE

RELATÓRIO DO PROJETO- ESTUFA.

KELVIN VINICIUS DA SILVA MAGALHÃES

CUIABÁ, 2019.



UNIVERSIDADE FEDERAL DE MATO GROSSO
FACULDADE DE ENGENHARIA – CAMPUS VÁRZEA GRANDE

RELATÓRIO DO PROJETO- ESTUFA.

Trabalho elaborado para fins
avaliativos da disciplina Sistema de
Controle 1, da Faculdade de Engenharia,
Prof. Me Daniel Miranda Cruz.

KELVIN VINICIUS DA SILVA MAGALHÃES

CUIABÁ, 2019.

Sumário

1. Introdução	5
2. Desenvolvimento	7
2.1 Definição da Equipe.....	7
2.2 Divisão de tarefas.....	7
2.3 Cronograma	7
2.4 Escolha do processo.....	8
2.5 Estudo e suas características	12
2.6 Definição da placa controladora/Aquisição de sinal.....	12
2.7 Definição do sistema de medição	13
2.8 Definição do sistema de Atuação.....	14
2.9 Simulação e entendimento do modelo	14
2.10 Listagem de materiais	15
2.11 Aquisição de materiais.....	16
2.12 Eletrônica em funcionamento	16
2.13 Montagem e teste do sistema de medição.....	18
2.14 Montagem e sistema de atuação	19
2.15 Aquisição de sinal via placa controladora	20
2.16 Ensaio e identificação em malha aberta e modelagem do sistema	20
2.17 Modelo Teórico.....	23
2.18 Comparação do modelo teórico desenvolvido.....	25
2.19 Projeto de um controlador simples	25
2.20 Ajuste de período de amostragem.....	26
2.21 Implementação do algoritmo	26
2.22 Definição das especificações	26
2.23 Projeto dos parâmetros de ajuste do controlador	27
2.24 Projeto de estrutura PID2DOF.....	28
2.25 Discretização da lei de controle	30

2.26	Projeto usando lugares das raízes	31
2.27	Comparação do desempenho dos controladores	32
2.28	PID - Industrial: Tratando Saturação e modo de seguimento	35
2.29	Trabalhos Futuros	37
3.	Conclusão	38
4.	Bibliografia.....	39

1. Introdução

Porque controlar a temperatura de um ambiente fechado? Nos dias de hoje o controle de variáveis dos mais diversos tipos são essenciais para a automação de processos, no século passado controlar a temperatura era extremamente complicado e sem precisão, sem equipamentos como controladores e sensores de alta precisão, o trabalho quase sempre era manual e propício a erros; mas o que mudou de lá pra cá? Com a criação e desenvolvimento da tecnologia dos controladores e sensores tornou possível fazer aplicações automáticas, ou seja, uma vez instalado o controle de temperatura por exemplo funcionaria sem nenhum tipo de auxílio humano, exceto quando trata-se de manutenção, e esse controle de temperatura é amplamente utilizado em diversos setores como indústria, lazer, medicinal, militar e outros, e devido a essa ampla utilização o seu custo caiu, podendo construir um pequeno sistema de controle de temperatura barato mais eficiente como será desenvolvido neste projeto.

Para elaboração deste projeto será necessário controlar a velocidade de um ventilador e isso será feito por meio de PWM ('pulse width Modulation') refere-se ao conceito de pulsar rapidamente um sinal digital em um condutor. Além de várias outras aplicações, esta técnica de modulação pode ser utilizada para simular uma tensão estática variável e é comumente aplicada no controle de motores elétricos, aquecedores, LEDs ou luzes em diferentes intensidades ou frequências [1].

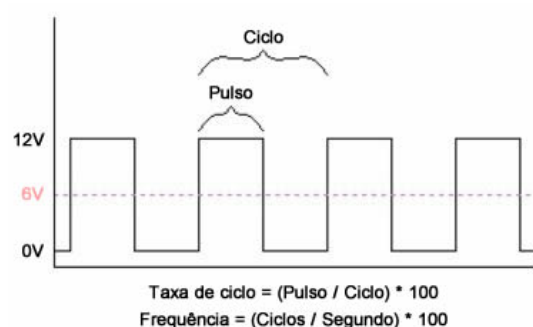


Figura 5 – PWM e termos

Em termos de definição, temos:

Ciclo ou Período – o intervalo de tempo entre a subida de um pulso (dado em segundos);

Frequência – a taxa de bordas de subida de um pulso (dado em Hz ou ciclos por segundo). É simplesmente o inverso do período;

Taxa de Ciclo – tempo no período em que o pulso está ativo ou alto, dividido pelo tempo de ciclo (é dado em porcentagem do período completo)

Figura 1: PWM

Fonte: [1]

Também temos os sistemas de controle que realizam as correções no sistema, o controle PID (Proporcional Integral Derivativo) é uma das técnicas mais empregadas quando se deseja realizar o controle de variáveis contínuas. O controle PID consiste em um algoritmo matemático, que tem por função o controle preciso de uma variável em um sistema, permitindo

ao sistema operar de forma estável no ponto de ajuste desejado, mesmo que ocorram variações ou distúrbios que afetariam sua estabilidade [2].

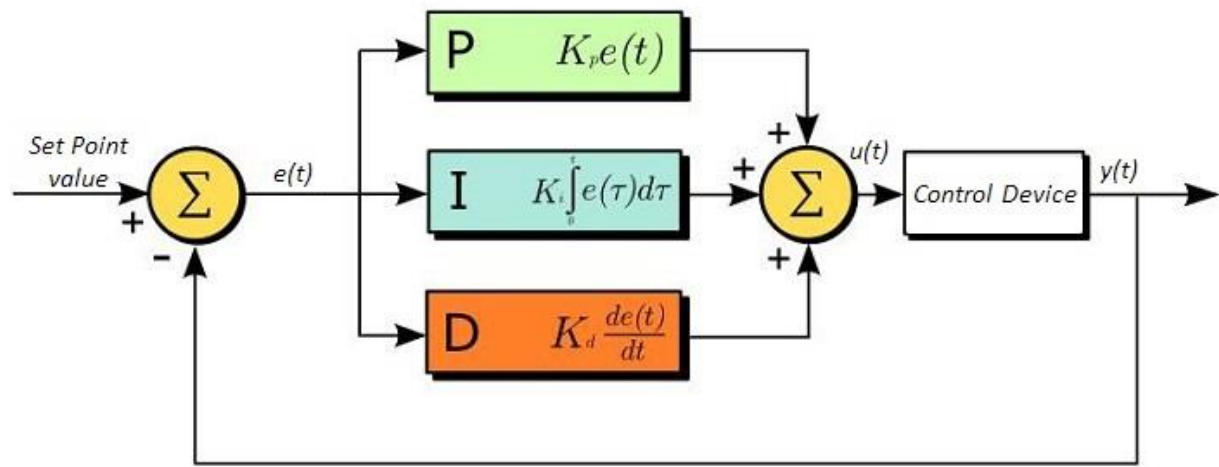


Figura 2:PID

Fonte: [3]

Além da estrutura física da planta feita de madeira, será utilizado um microcontrolador de baixo custo, Arduino Mega, responsável por controlar o sistema, também faz a aquisição de sinais e controla o atuador.

2. Desenvolvimento

2.1 Definição da Equipe

A equipe será constituída de apenas um integrante, o autor do relatório.

2.2 Divisão de tarefas

Todas as atividades relacionadas ao trabalho ficaram a cargo do autor do relatório.

2.3 Cronograma

Existem 2 cronogramas, o estático que trata-se do cronograma inicial na figura abaixo e o dinâmico que é atualizado constantemente e pode ser acompanhado através do link:

<https://trello.com/b/feuC7YD6/estufa> .

CRONOGRAMA PROJETO DE SISTEMA DE CONTROLE 1 - Estufa- Kelvin Magalhães			
Atividade	Dia /mês	Situação	Observação
E1- Definição da equipe	14/dez	Concluído	
E1- Divisão de tarefas	14/dez	Concluído	
E2.1- Escolha do processo	15/fev	Validação	
E2.1- Estudo e suas características	21/dez	Validação	
E2.1-Definição da placa controladora/Aquisição de sinal	15/fev	Concluído	
E2.1-Definição do sistema de medição	15/fev	Validação	
E2.1- Definição do sistema de atuação	15/fev	Validação	
E2.1- Simulação e entendimento do modelo	15/fev	Validação	
E2.1- Listagem de materiais	15/fev	Validação	
E2.2 - Aquisição de materiais	20/fev	Validação	
E2.2 - Eletrônica em funcionamento	20/fev	Validação	
E2.2 - Montagem e teste do sistema de medição	26/fev	Validação	
E2.2 - Montagem e sistema de atuação	26/fev	Validação	
E2.2 - Aquisição de sinal via placa controladora	26/fev	Validação	
E2.3 - Ensaio e identificação em malha aberta e modelagem	01/mar	Não iniciado	
E2.3 - Comparação do modelo teórico desenvolvido	01/mar	Não iniciado	
E2.3 - Projeto de um controlador simples	01/mar	Não iniciado	
E2.3 - Ajuste de período de amostragem	01/mar	Não iniciado	
E2.3 - Discretização da lei de controle	01/mar	Não iniciado	
E2.3 - Implementação do algoritmo	09/mar	Não iniciado	
E2.3 - Definição das especificações	09/mar	Não iniciado	
E2.3 - Projeto dos parâmetros de ajuste do controlador	09/mar	Não iniciado	
E2.4 - Projeto de estrutura PID2DOF	15/mar	Não iniciado	
E2.4 - Projeto usando lugares das raízes	15/mar	Não iniciado	
E2.4 - Comparação do desempenho dos controladores	15/mar	Não iniciado	
E2.4 - PID - Industrial: Tratando Saturação e modo de segu	15/mar	Não iniciado	
E3 - Sistema de controle em funcionamento	05/abr	Não iniciado	
E3 - Relatório Final	05/abr	Não iniciado	
E3 - Apresentação oral e experimental	05/abr	Não iniciado	
E3 - Proposta de melhoria e trabalhos futuros	05/abr	Não iniciado	

Figura 3: Cronograma

Fonte: Própria.

2.4 Escolha do processo

O processo escolhido trata-se de um sistema de controle de temperatura em um ambiente, um modelo de estufa em pequena escala, onde temos uma lâmpada incandescente de 70 W que fornece o aquecimento necessário ao sistema, um sensor de temperatura LM35 que é responsável por medir a temperatura do ambiente e um pequeno ventilador que será controlado pela temperatura do ambiente, ou seja, se a temperatura está alta em relação a um padrão definido o ventilador terá uma velocidade alta, já se a temperatura for abaixo do referencial o ventilador terá uma velocidade baixa ou desligará. Aqui temos a simulação da construção física do projeto.

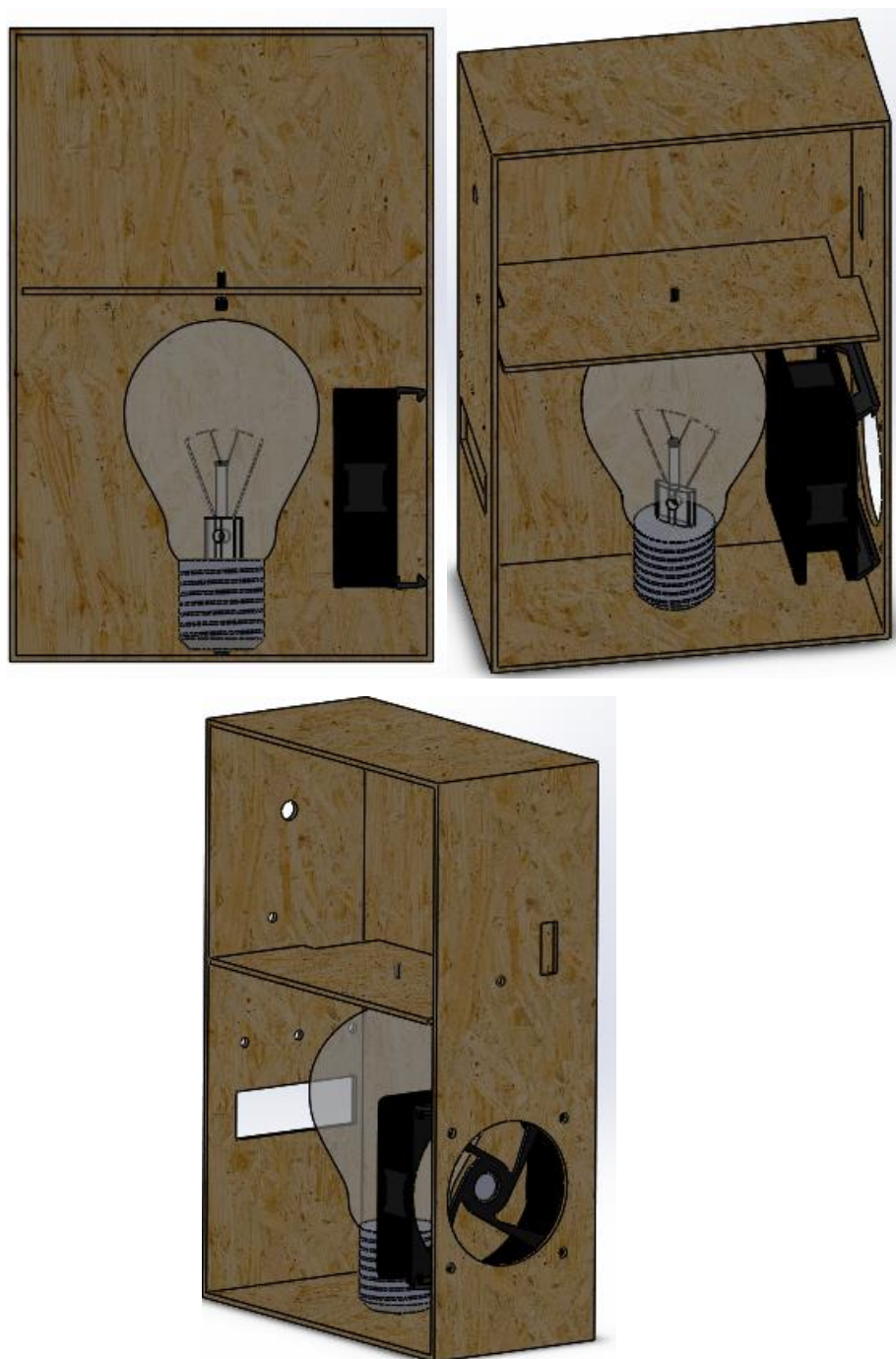


Figura 4: Modelagem da Planta

Fonte: Própria.

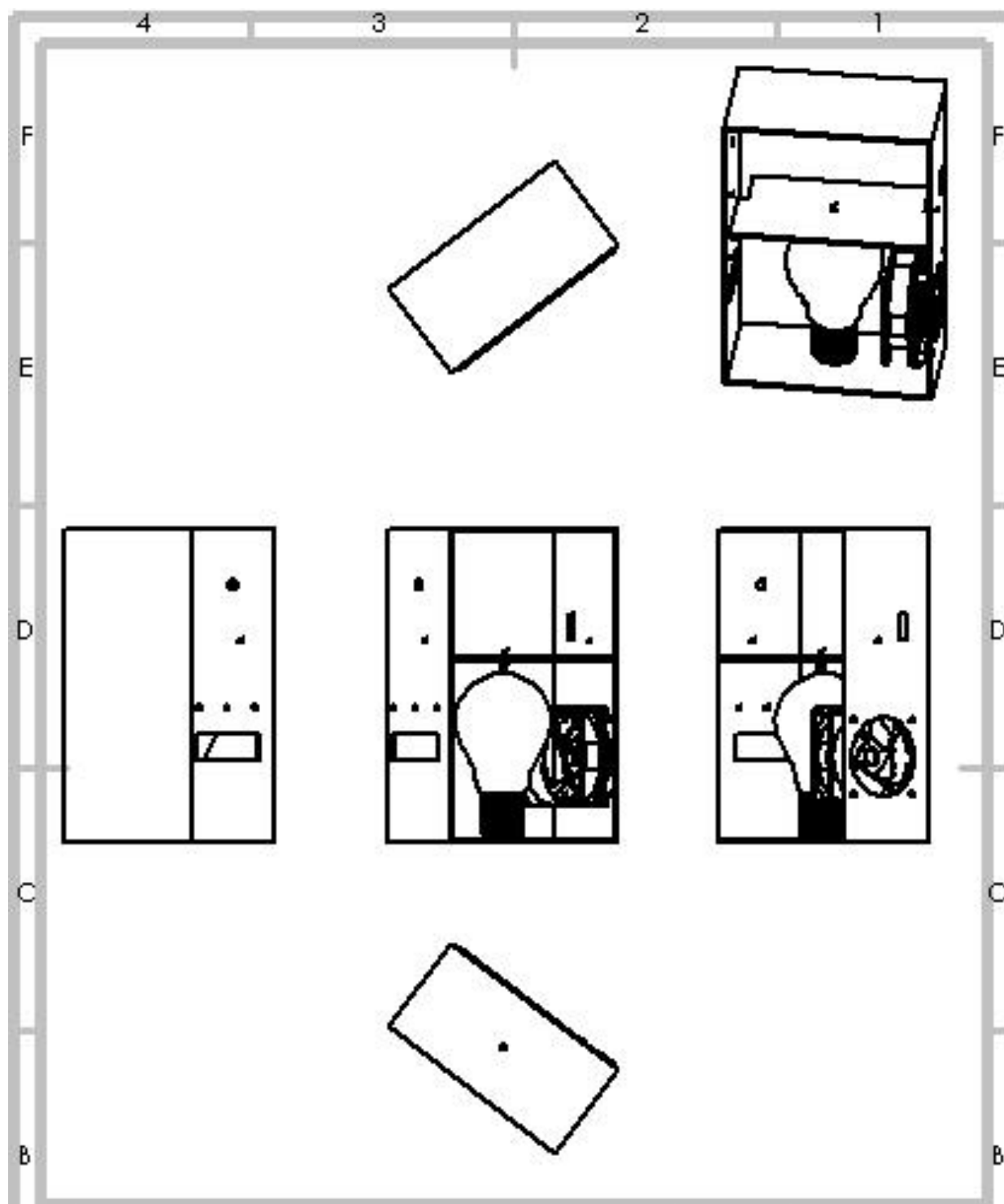
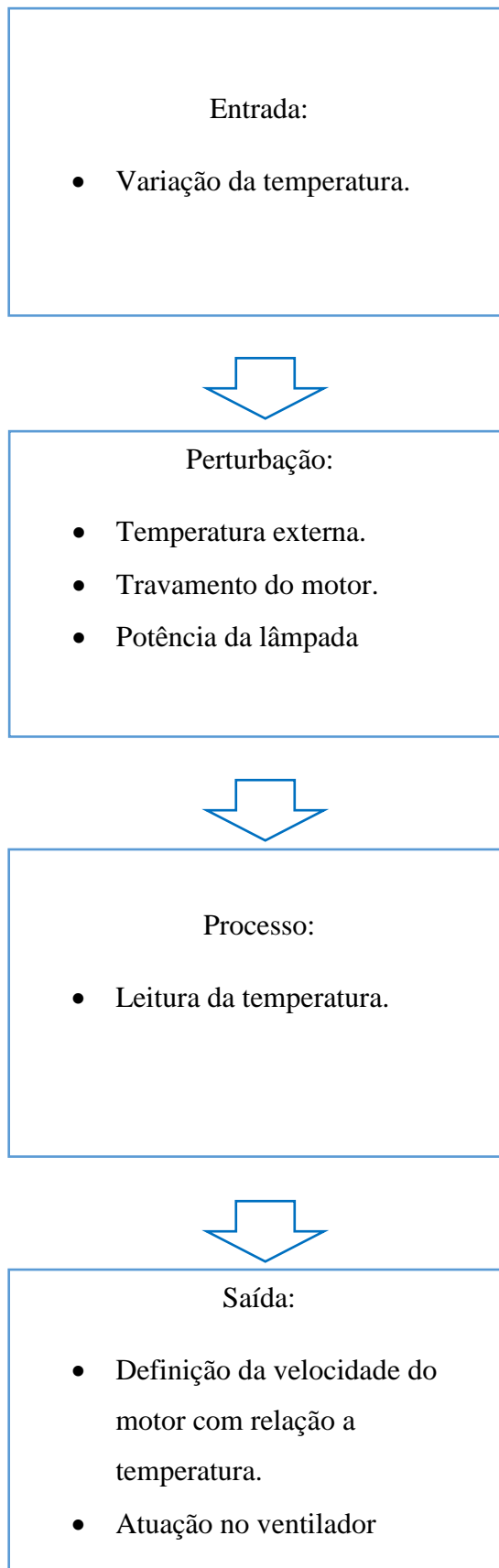


Figura 5: Desenho da Construção

Fonte: Própria.

E este é o fluxograma do sistema:



2.5 Estudo e suas características

Para simular o aquecimento de temperatura será utilizado uma lâmpada incandescente , que trata-se de uma lâmpada amplamente utilizada nas residências até início do século XXI, que tem um baixo custo de aquisição mas que tem maior consumo quando comparada a lâmpadas utilizadas atualmente que são as , Fluorescentes e LED , esse alto consumo está diretamente relacionado ao seu aquecimento, boa parte da energia consumida torna-se calor, por ter baixo custo o sistema ser em pequena escala é a fonte de calor ideal . Para simular o sistema de ventilação, foi utilizado um cooler de computador que tem a função de retirar calor de um ambiente fechado, o que também o torna ideal para esta aplicação. O sistema de medição é constituído por um sensor de temperatura de baixo custo que tem faixa de medição entre - 55°C a +150°C. Além de um microcontrolador Arduino, que se trata de um controlador amplamente difundido na área acadêmica e de baixo custo também. Tal controlador foi escolhido pelo custo e pela quantidade de informação disponível sobre ele. Todo este conjunto de componentes ficaram alojados numa caixa de madeira.

O sistema funcionará da seguinte forma, ligamos a chave liga/desliga da lâmpada que aquecerá e será monitorado a temperatura do sistema através do sensor de temperatura LM35 até que ela estabilize (acompanhando pelo scope ou display do Simulink), definimos uma temperatura desejada que seria o Setpoint, e aguardamos a ação do controlador que atua na velocidade do ventilador até que a temperatura desejada seja atingida e mantida . Lembrando que se deve respeitar os limites de temperatura que o ventilador consegue atingir, pois, é de baixa potência e levando em consideração que a temperatura é uma variável lenta e pode demorar alguns segundos para que se note diferença. Podemos aplicar perturbações como tentar travar o cooler, desligar a lâmpada ou diminuir sua potência e ver como o sistema reage.

2.6 Definição da placa controladora/Aquisição de sinal

A placa controladora utilizada será o Arduino MEGA que contém um chip ATMEGA 2560, essa escolha foi feita devido ao baixo custo deste microcontrolador, a facilidade de acesso a informação sobre ele. A aquisição de sinais se dará por meio da comunicação via cabo serial do microcontrolador, com a aquisição de sinais e controle sendo gerenciadas pelo Simulink.

Temos a disposição o seguinte microcontrolador:

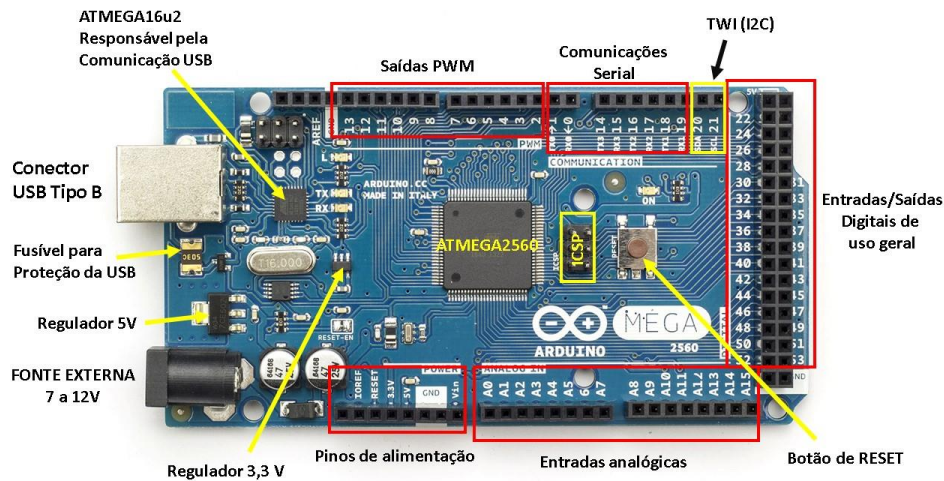


Figura 6: Arduino Mega

Fonte: [4]

Baseada no microcontrolador ATmega2560, possui 54 pinos de entradas e saídas digitais onde 15 destes podem ser utilizados como saídas PWM. Possui 16 entradas analógicas, 4 portas de comunicação serial. Além da quantidade de pinos, ela conta com maior quantidade de memória que Arduino UNO, sendo uma ótima opção para projetos que necessitem de muitos pinos de entradas e saídas além de memória de programa com maior capacidade [4].

2.7 Definição do sistema de medição

O sistema de medição será baseado em um único componente, o sensor de temperatura LM35.

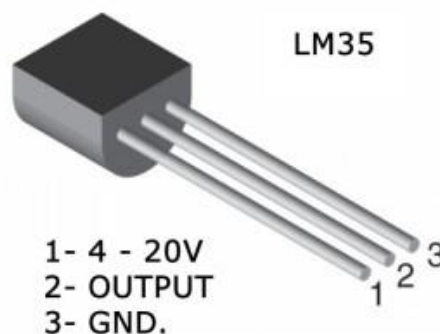


Figura 7: MPU 6050

Fonte: [5]

O Sensor de Temperatura LM35 é um componente eletrônico digital desenvolvido para ser aplicado nos mais diversos ambientes, medindo temperaturas entre -55°C a $+150^{\circ}\text{C}$. Para

que o sensor de temperatura entre em funcionamento, é necessário estar conectado junto a uma plataforma de prototipagem, neste caso será o Arduino. [5]

Ele apresenta uma tensão de saída linear relativa a temperatura, e retorna um valor analógico referente a temperatura que o ambiente está apresentando. Para conversão dos valores de tensão para temperatura utilizamos a seguinte fórmula:

$$Temperatura(C) = \frac{leitura(V) * 5 * 100}{1023}$$

Equação 1

2.8 Definição do sistema de Atuação

O sistema de atuação consiste na ação de controle que atua no ventilador , temos a temperatura mensurada pelo sensor de temperatura, o controlador recebe essa temperatura aplica o controle e retorna os dados aplicando a correção no atuador.

2.9 Simulação e entendimento do modelo

Para simular o funcionamento, temos que abrir o programa Matlab, ir até o toolbox Simulink e abrir o arquivo ‘Controle_principal. O toolbox Simulink serve como supervisor. Para permitir esta conexão Matlab e Arduino, foi necessário adicionar a biblioteca ‘Arduino from support Simulink’ que não é nativa do software, isto pode ser feito diretamente no software. E só funcionou no Matlab 2015 com um Arduino Mega, anteriormente estava-se trabalhando com Arduino Uno, mas devido a limitações no Simulink, a placa controladora foi trocada. A configuração é simples, basta alterar no Simulink o tempo de simulação, definir como ‘External’ e colocar em execução verificando o funcionamento. Um exemplo abaixo:

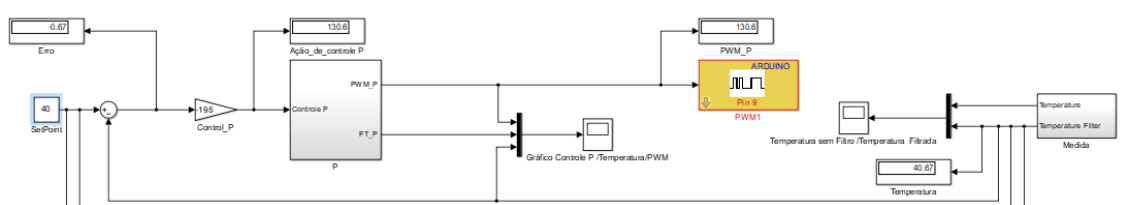


Figura 8: Diagrama Controle P

Fonte: Própria.

O SetPoint é a referência de temperatura desejada e pode ser alterada em tempo real, já para os outros parâmetros só podem ser alterados parando a simulação. Podemos observar

alguns valores diretamente na tela do Simulink como mostrado acima são eles: temperatura, erro, controle PWM, ação de controle ou podemos abrir o scope 'Gráficos_controle_temperatura/PWM' e verificar os dados em forma de gráfico. Para o controle proporcional temos o seguinte gráfico abaixo, com a curva em rosa representando o controle Proporcional, em azul a temperatura e em amarelo o PWM aplicado ao motor.

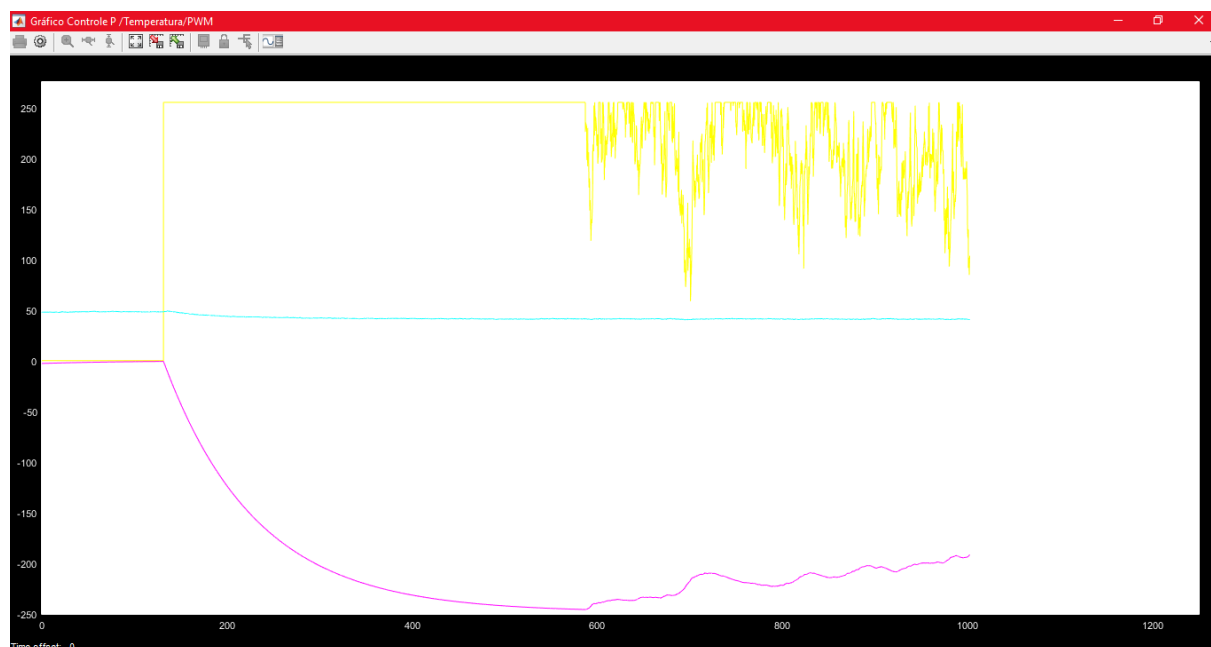


Figura 9: Gráficos controlador P

Fonte: Própria.

2.10 Listagem de materiais

Quantidade	Componentes	Valor
1	Arduino Uno/Mega	R\$ 40,00
1	Suporte Lampada Incandescente	R\$ 6,00
1	Lampada Incandescente 70W	R\$ 10,00
1	Cooler Computador	R\$ 10,00
1	Circuito de controle de velocidade(TIP 31C, Diodo, Led)	R\$ 5,00
1	Sensor de Temperatura LM35	R\$ 11,00
1	Fonte 12 Vdc	R\$ 10,00
1	Protoboard	R\$ 10,00
1	Caixa de Madeira	R\$ 50,00
-	Jumpes	R\$ 1,00
	TOTAL	R\$ 153,00

Figura 10: Lista de componentes

Fonte: Própria.

2.11 Aquisição de materiais

Materiais já foram adquiridos, o custo foi especificado na *seção 2.10*.

2.12 Eletrônica em funcionamento

A disposição dos componentes eletrônicos está indicada abaixo:

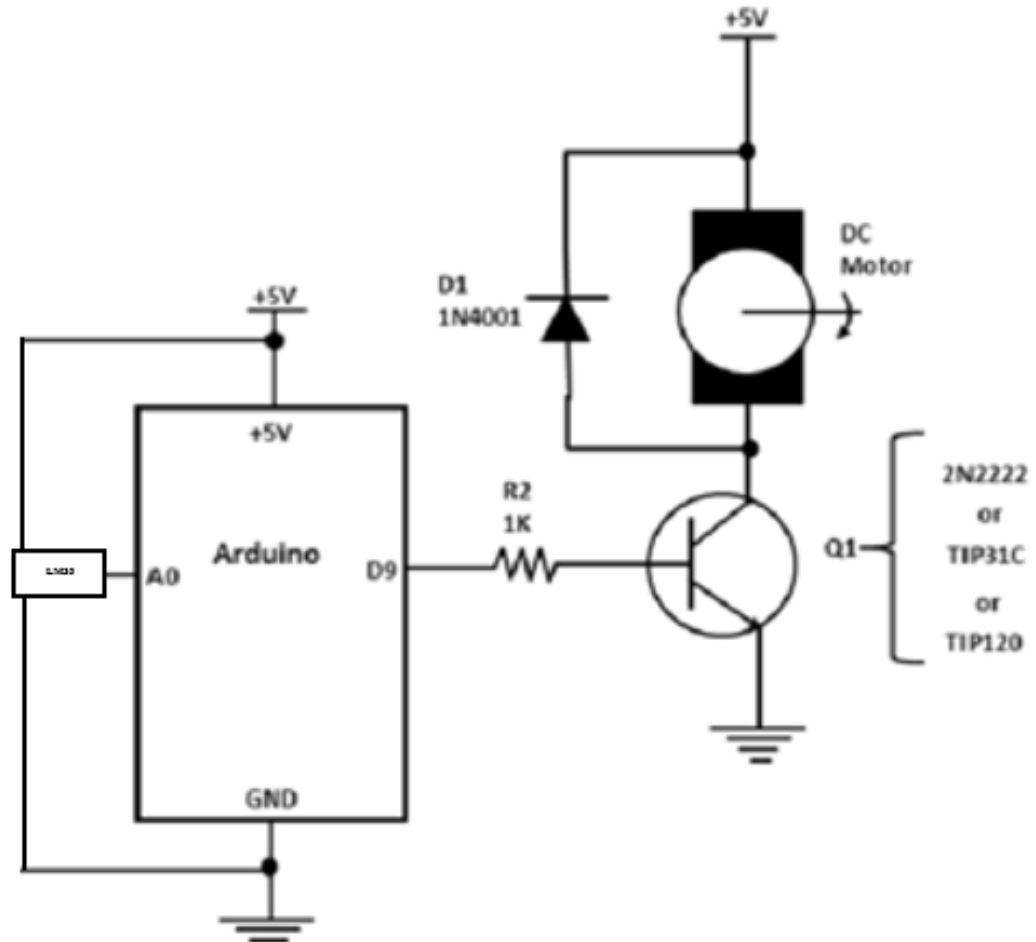


Figura 11: Diagrama eletrônico

Fonte: [6]

O funcionamento eletrônico dos componentes ocorre da seguinte forma.

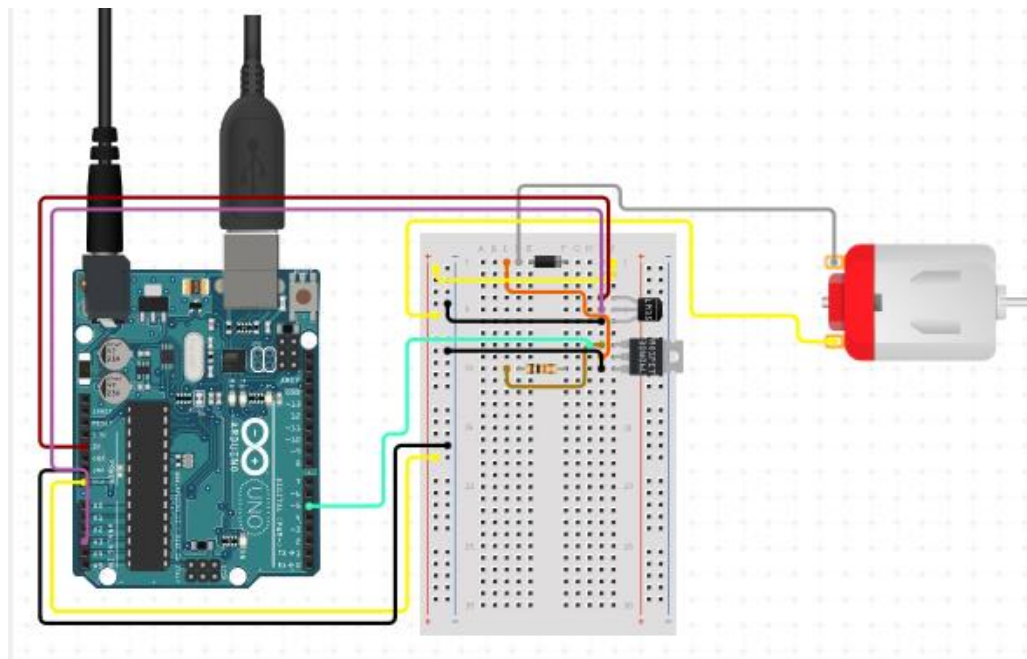


Figura 12: Simulação Circuito IO

Fonte:Própria.

Microcontrolador (Arduino Mega): É o cérebro do sistema, pois, faz a aquisição de sinais e tratamento das variáveis, ou seja, quem controla o sistema. É alimentado pelo cabo serial conectado ao computador.

Lâmpada Incandescente: Responsável pelo fornecimento de calor ao sistema, é ligada diretamente na rede AC através de um adaptador para tomada, em 127 V e tem potência de 70W.

Sensor de temperatura LM35: Ligado diretamente ao Arduino que fornece a alimentação de 5V necessária, e seu pino 2 trata-se do pino de dados que é responsável por enviar os valores analógicos medidos, a temperatura é uma unidade analógica.

Ventilador: Responsável pela retirada de calor do sistema, com corrente máxima de 0.22 A, que é ligado a uma fonte externa de 12Vdc que fornece a corrente necessária para o bom funcionamento do sistema, caso fosse diretamente no Arduino haveria problemas com a velocidade do motor, pois, a corrente é baixa.

Circuito de Controle de velocidade: Para realizar o controle de velocidade do motor DC foi necessário um transistor TIP 31C que permitiu o uso da função PWM (Pulse Width Modulation), onde a velocidade pode ser variada de 0 a 255(8 bits). Também foi necessário um

resistor de 1 k Ω e um diodo, e uma fonte externa para construção do circuito. Abaixo está o circuito elaborado e como foi conectado ao microcontrolador.

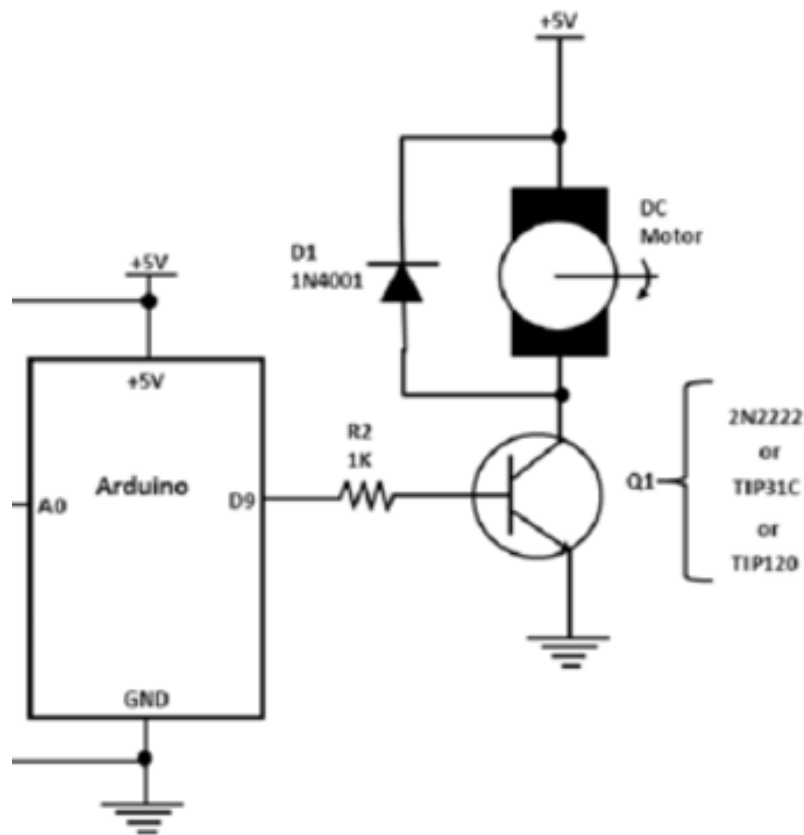


Figura 13: Diagrama eletrônico

Fonte: [6]

Fonte externa 12 VDC: Tem a função de alimentar o circuito de controle do motor DC, trata-se de uma fonte de 12VDC com 2 A de corrente, que é suficiente para atender o circuito.

2.13 Montagem e teste do sistema de medição

O sistema de medição foi acoplado a um suporte de madeira para ficar numa posição estratégica na caixa, próximo a lâmpada e ao ventilador.



Figura 14: Sistema de medição

Fonte: Própria.

Temos 3 pinos, um para alimentação de 5 V e GND conectados diretamente no Arduino, e um pino de dados analógicos que está conectado ao pino A0 do Arduino. E a temperatura é requerida pelo controlador a cada 1 segundo.

2.14 Montagem e sistema de atuação

O sistema de medição foi acoplado a caixa de madeira para ficar numa posição estratégica na caixa, próximo a lâmpada e ao sensor de temperatura.

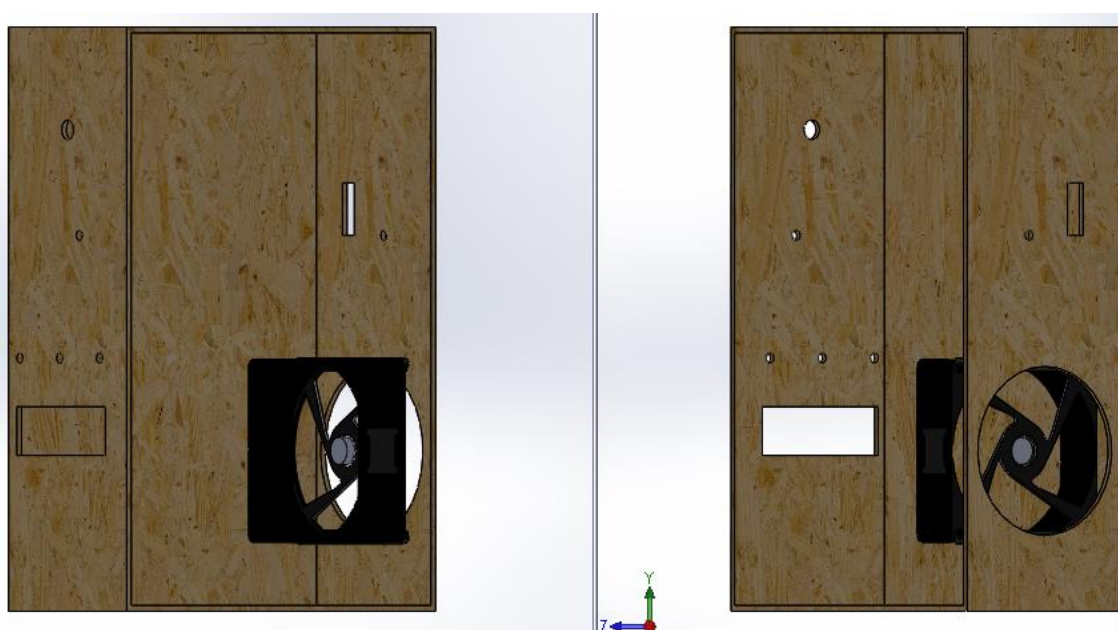


Figura 15: Sistema de Atuação

Fonte: Própria.

Para controlar o ventilador temos 2 pinos, apenas de alimentação. Então é necessário um circuito que permita a alteração da tensão aplicada ao motor, isso será feito por meio do circuito de controle de motor DC já citado anteriormente, que é conectado ao pino 9 de PWM do controlador, ou seja, a tensão aplicada ao ventilador será controlada pelo controlador e a

tensão está diretamente relacionada a velocidade do ventilador e será mapeada da seguinte forma: O PWM tem uma faixa de atuação de 0 a 255 , sendo 255 igual ao valor máximo de tensão no caso 5 V e 0 igual ao valor mínimo de tensão que é 0 V e essa tensão será variada entre 0 a 5 V conforme a ação de controle.

2.15 Aquisição de sinal via placa controladora

A aquisição de sinais será feita via comunicação serial USB, os dados serão recebidos no toolbox do Matlab- Simulink. A taxa de amostragem foi definida em $T_s = 0.1s$ (segundos) para que o controle tenha resposta a tempo de atuar no sistema sem que ele sature, pelas características do sensor que tem um tempo de leitura de 2s, que é muito maior que a amostragem; Para corrigir essa inconsistência de ter valores não realísticos na medida, foi utilizado um filtro que coleta dados de 2 em 2 segundos e também evita ruídos na medição.

$$Filtro = \frac{1}{2s + 1}$$

Equação 2

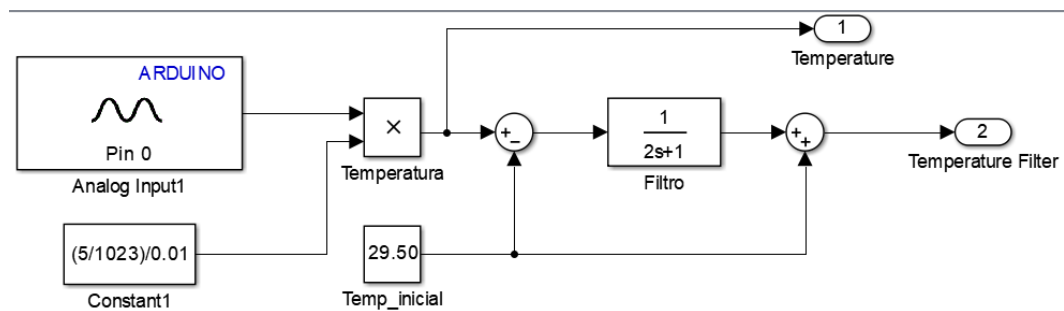


Figura 16: Diagrama de Temperatura com Filtro

Fonte: Própria.

2.16 Ensaio e identificação em malha aberta e modelagem do sistema

Através do ensaio em malha aberta foi possível identificar a função transferência do sistema.

Malha Aberta

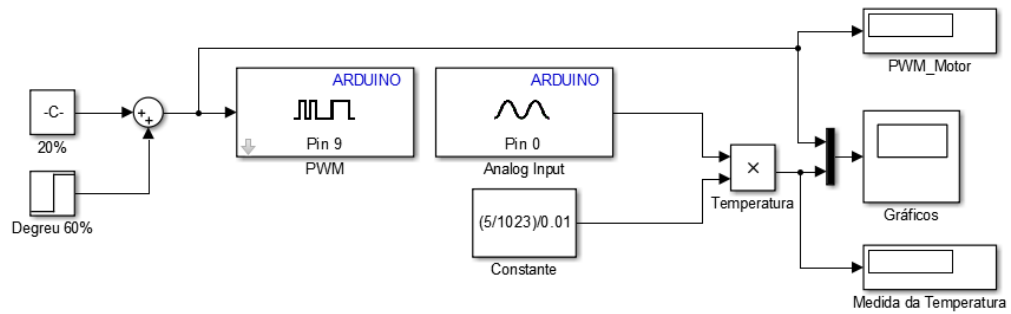


Figura 17: Malha Aberta

Fonte: Própria

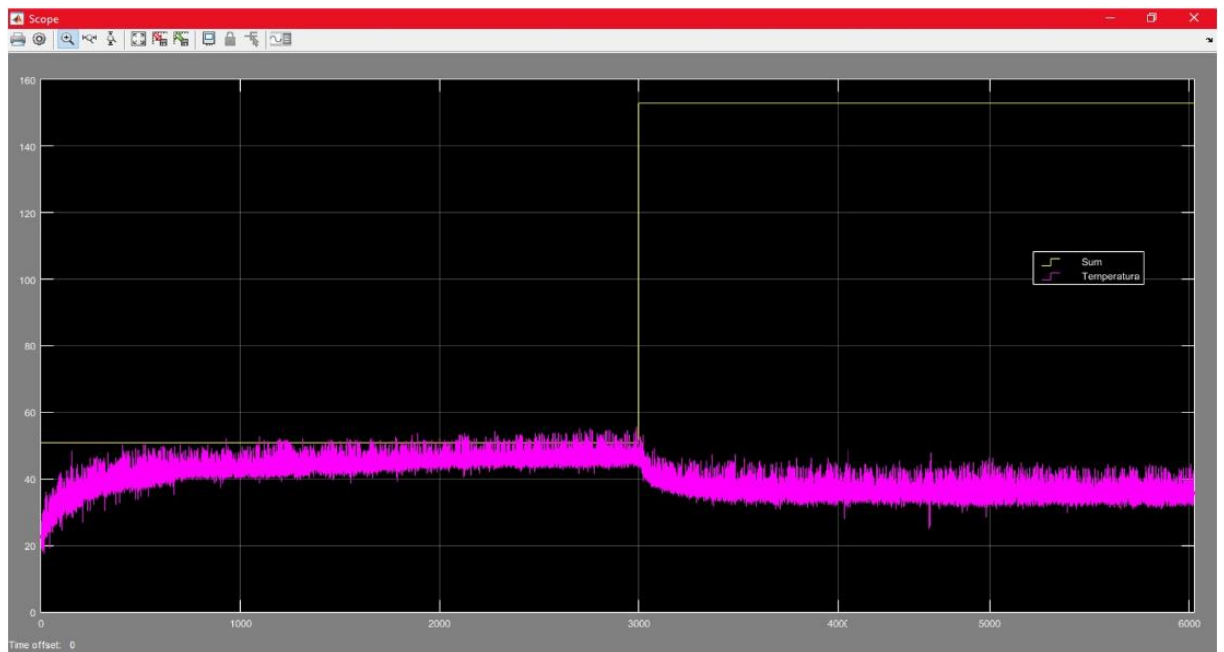


Figura 18: Ensaio Malha Aberta

Fonte: Própria.

O ensaio foi feito da seguinte forma:

- 1- Definiu-se em 20% de PWM a atuação no ventilador com a lâmpada ligada, até que a temperatura se estabiliza.

$$255 \rightarrow 100\%$$

$$PWM \rightarrow 20\%$$

Equação 3

Logo,

$$PWM20\% = 51.$$

Então o sinal PWM aplicado no atuador é de 51. Após um tempo de 1000 segundos já é possível identificar uma estabilização em 44°C.

2- Aplicou-se um degrau, alterando a atuação no ventilador de 20% para 60% de PWM com a lâmpada ligada, até que a temperatura se estabiliza novamente.

Logo,

Analogamente ao passo 1, $PWM60\% = 153$. Após um tempo de 1000 segundo já é possível identificar uma estabilização em 36°C.

3- Para calcular o ganho estático Ke da função transferência, temos a seguinte fórmula:

$$Ke = \frac{(\Delta T * 0.632) - T0}{Uf - Ui} = \frac{((44 - 36) * 0.632) - 44}{60 - 20} = -0.9736$$

Equação 4

Onde,

$T0$ – temperatura inicial

Uf – PWM final

Ui – PWM inicial

O ganho estático é negativo, pois a variável temperatura é reversa a ação do atuador.

4- Para cálculo do τ utilizamos a seguinte fórmula:

$$T(63\%) = (-\Delta T * 0.632) + 44 = 39^\circ\text{C}$$

Equação 5

Verificando nos dados o sistema atinge a temperatura de 39°C depois de 100 segundos.

Logo,

$$\tau = 100s$$

5- Para encontrar a função transferência, basta aplicar na fórmula os valores obtidos:

$$G(s) = \frac{Ke}{\tau s + 1} = \frac{-0.9736}{100s + 1}$$

Equação 6

Como já era esperado trata-se de uma função de primeira ordem, comum em sistemas térmicos.

2.17 Modelo Teórico

Para modelagem teórica irei considerar a transferência de calor apenas por convecção forçada, ou seja, o calor dissipado apenas pelo ventilador.

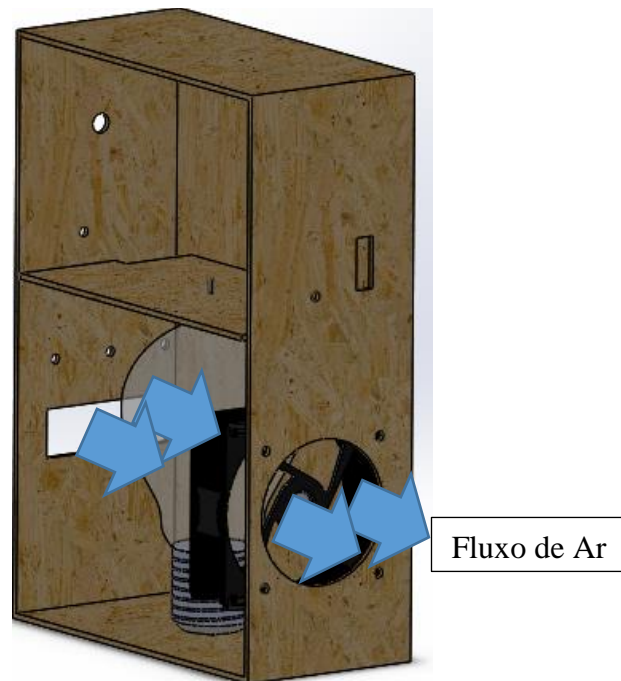


Figura 19: Direção do fluxo de ar

Fonte: Própria.

Temos que:

$$\frac{dQ}{dt} = h * As * \left(\frac{dT_{amb}}{dt} - \frac{dT_{int}}{dt} \right)$$

Equação 7

Onde,

Q- é taxa de variação de calor do sistema

h- Coeficiente convectivo (constante)

As- Área da seção normal ao ventilador

Tamb- Temperatura ambiente externa

Tint- Temperatura interna

Com a taxa de calor, é possível encontrar o fluxo de calor.

$$\frac{dQ''}{dt} = \frac{\frac{dQ}{dt}}{As} \left(\frac{dT_{amb}}{dt} - \frac{dT_{int}}{dt} \right)$$

Equação 8

Então pode-se fazer uma analogia que o fluxo de calor pode ser visto como vazão de um fluido, neste caso o ar, mas porque fazer esta analogia? Precisa-se relacionar fluxo de calor com velocidade do ventilador e dessa forma conseguimos.

Se,

$$\frac{dQ''}{dt} = \frac{dV}{dt}$$

Equação 9

$$\frac{dV}{dt} = \frac{dv}{dt} * As$$

Equação 10

Onde $\frac{dV}{dt}$ é a vazão e $\frac{dv}{dt}$ é a velocidade, que podemos definir como:

$$\frac{dv}{dt} = \frac{\frac{dV}{dt}}{As}$$

Equação 11

$$\frac{dv}{dt} = \frac{\frac{dQ''}{dt}}{As}$$

Equação 12

$$\frac{dv}{dt} = \frac{\frac{\frac{dQ}{dt}}{As} \left(\frac{dT_{amb}}{dt} - \frac{dT_{int}}{dt} \right)}{As}$$

Equação 13

$$\frac{dv}{dt} = \frac{\frac{h * As * (\frac{dT_{amb}}{dt} - \frac{dT_{int}}{dt})}{As}}{As} * (\frac{dT_{amb}}{dt} - \frac{dT_{int}}{dt})$$

Equação 14

Desta forma temos o sistema não linearizado:

$$\frac{dv}{dt} = \frac{h * (\frac{dT_{amb}}{dt} - \frac{dT_{int}}{dt})^2}{As}$$

Equação 15

E a velocidade ficará no intervalo 0 a 255, sendo referente ao PWM. Sendo necessário fazer o processo de linearização da função e depois fazer transformada de Laplace, mas como a planta terá modelagem através da pratica, foi desenvolvido só o modelo não linear teoricamente.

2.18 Comparação do modelo teórico desenvolvido

Realizando uma breve comparação entre o modelo teórico e o real, é possível notar que realmente o que afeta o sistema é a variação da temperatura externa e interna, já que a área e o coeficiente convectivo são constantes. Durante os testes práticos, a temperatura ambiente sempre tinha variação, em alguns casos variações grandes de até 8°C, ou seja, a modelagem podia não atender, isso se deve ao ponto de operação o qual o sistema foi modelado. Através da modelagem teórica foi possível entender como relacionar os diversos tipos de variáveis que envolve um sistema térmico e com resultados na pratica foi possível ver estes conceitos aplicados fisicamente.

2.19 Projeto de um controlador simples

Para calcular um controlador simples basta adicionar um controle proporcional integral (PI) em malha fechada, por alocação de polos para encontrar Kp e Ti [7].

- 1- Deseja-se que o sistema seja acelerado, então adicionamos um polo 4 vezes mais rápido que o $\tau = 100s$.

$$FTMF_{desejada} = \frac{-0.9736}{(25s + 1)^2}$$

Equação 16

$$n = \frac{\tau}{4} = \frac{100}{4} = 25$$

Equação 17

$$Kp = \frac{2n - 1}{K} = \frac{(2 * 25) - 1}{-\frac{1}{4}} = -196$$

Equação 18

$$Ti = \frac{\tau(2n - 1)}{n^2} = \frac{25 * 39}{25^2} = 1.56$$

Equação 19

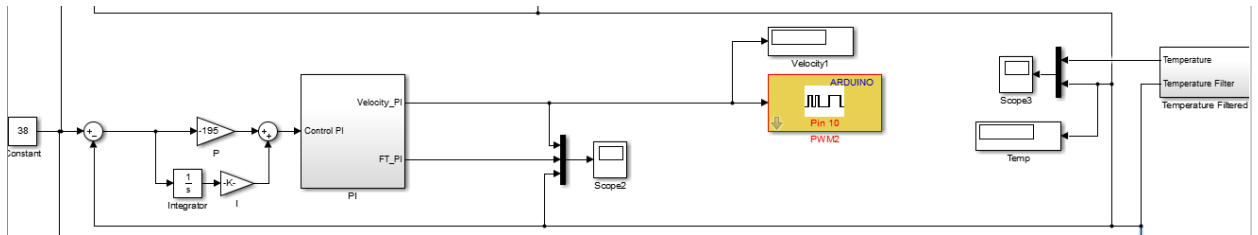


Figura 20: Controle PI

Fonte: Própria

2.20 Ajuste de período de amostragem

A taxa de amostragem foi definida em $T_s = 0.1s$ para que o controle tenha resposta a tempo de atuar no sistema sem que ele sature, pelas características do sensor que tem um tempo de leitura de $2s$, que é muito maior que a amostragem; Para corrigir essa inconsistência de ter valores não realísticos na medida, foi utilizado um filtro que coleta dados de 2 em 2 segundos e também evita ruídos na medição.

$$Filtro = \frac{1}{2s + 1}$$

Equação 20

2.21 Implementação do algoritmo

Implementação está dividida em 2 partes, o algoritmo no Matlab ('code.m') e o diagrama de blocos contendo a simulação no Simulink ('Controle_principal.slx'), também foi elaborado o controle pela IDE do Arduino, arquivo 'PID_Estufa.ino'. Estão anexados junto a este material.

2.22 Definição das especificações

Para especificações foram fixados alguns parâmetros, são eles:

- 1- $\tau R = \tau L/4$, ou seja, o tal rápido devia ser 4 vezes mais rápido que o tau lento, o tau lento foi obtido na função transferência encontrada, $\tau L = \tau = 100s$, portanto, $\tau R = 25s$.
- 2- Foi adotado um sistema super-amortecido, ou seja, $\xi > 1$, onde, os polos são negativos, diferentes.

2.23 Projeto dos parâmetros de ajuste do controlador

$$G(s) = \frac{-0.9736}{100s + 1}$$

Equação 21

Por alocação de polos, foi desejado um polo em 25s, ou seja, um polo 4 vezes mais rápido que o τ , ficando desta forma [7]:

$$G1(s) = \frac{-0.9736}{(100s + 1) * (25s + 1)} = \frac{-0.9736}{2500s^2 + 125s + 1}$$

Equação 22

Como a menor constante de tempo agora é o $\tau R = 25s$. Podemos calcular $\omega_0 = \frac{1}{\beta \tau R}$, onde $\beta = 2/3$, $\alpha = 1$ e $\xi = 1.1$.

$$\omega_0 = \frac{1}{\frac{2}{3} * 25} = 0.06$$

Equação 23

Calculando as constantes para o controle PID, K_p , T_i e T_d .

$$K_p = \frac{\tau R * \tau L * \omega_0^2 (1 + 2 * \alpha * \xi) - 1}{K_e} = \frac{25 * 100 * 0.06^2 (1 + 2 * 1 * 1.1) - 1}{-0.9736} = -26.7$$

Equação 24

$$T_i = \frac{\tau R * \tau L * \omega_0^2 (1 + 2\alpha\xi) - 1}{\tau R * \tau L * \alpha * \omega_0^3} = \frac{25 * 100 * 0.06^2 (1 + 2 * 1 * 1.1) - 1}{25 * 100 * 1 * 0.06^3} = 48.15$$

Equação 25

$$T_d = \frac{\tau R * \tau L * \omega_0 (\alpha + 2\xi) - \tau R - \tau L}{\tau R * \tau L * \omega_0^2 (1 + 2\alpha\xi) - 1} = \frac{25 * 100 * 0.06 (1 + 2 * 1.1) - 25 - 100}{25 * 100 * 0.06^2 (1 + 2 * 1 * 1.1) - 1} = 12.5$$

Equação 26

Logo, por alocação de polos de 2ª ordem, temos os parâmetros calculados para o PID $Kp = -26.7$, $Ti = 48.15$ e $Td = 12.5$. Porém, este modelo não apresentou resposta satisfatória na prática, principalmente tratando-se de Kp , então foi necessário realizar testes de tentativa e erro até achar os parâmetros ideais de funcionamento que são: $Kp = -195$; $Ti = \frac{1}{48.15} = 0.02$; $Td = 12.5$, isso pode ocorrer por diversos motivos, o teste realizado em malha aberta podia não ser a melhor escolha, o ambiente de teste de modelagem inicial e testes finais foram diferentes, então o ponto de operação é diferente em até 8° C. É muito comum realizar testes empíricos para sistemas de controle.

2.24 Projeto de estrutura PID2DOF

Devido a inconsistência de variáveis entre Simulink e Arduino, não consegui implementar a estrutura PID2DOF no Simulink, quando era adicionado o bloco PID no Simulink e adicionado os valores de Kp , Ti e Td o controle deixava de funcionar, o bloco não aceitava a realimentação que continha a medição do processo, e como o bloco PID2DOF é apenas uma variação do bloco PID, ocorreu o mesmo problema.

Como havia desenvolvido o sistema primeiramente na IDE do Arduino e só depois foi passado para o Simulink, o controle PID2DOF e controle PID funcionou, como a IDE do Arduino é limitada em relação a ajuste de escala do gráfico, quantidade de variáveis e outros problemas pelo plotter Serial não foi possível mostrar os gráficos, mas abaixo está a implementação que funcionou na planta, conforme mostrado durante o desenvolvimento do projeto.

```
PID_Estufa
1 class PID{
2 public:
3
4     double error, errorP;
5     double sample;
6     double lastSample;
7     double kP, kI, kD, b=1.0, c=1.0;
8     double P, I, D;
9     double pid;
10
11     double setPoint;
12     long lastProcess;
13
14     PID(double _kP, double _kI, double _kD){
15         kP = _kP;
16         kI = _kI;
17         kD = _kD;
18     }
19
20     PID_2DOF(double _kP, double _kI, double _kD, double _b, double _c){
21         kP = _kP;
22         kI = _kI;
23         kD = _kD;
24     }
25
26
27
28
29
30
31
32
33
34
35
36
37
38
39
40
41
42
43
44
45
46
47
48
49
50
51
52
53
54
55
56
57
58
59
60
61
62
63
64
65
66
67
68
69
70
71
72
73
74
75
76
77
78
79
80
81
82
83
84
85
86
87
88
89
90
91
92
93
94
95
96
97
98
99
100
101
102
103
104
105
106
107
108
109
110
111
112
113
114
115
116
117
118
119
120
121
122
123
124
125
126
127
128
129
130
131
132
133
134
135
136
137
138
139
140
141
142
143
144
145
146
147
148
149
150
151
152
153
154
155
156
157
158
159
160
161
162
163
164
165
166
167
168
169
170
171
172
173
174
175
176
177
178
179
180
181
182
183
184
185
186
187
188
189
190
191
192
193
194
195
196
197
198
199
200
201
202
203
204
205
206
207
208
209
210
211
212
213
214
215
216
217
218
219
220
221
222
223
224
225
226
227
228
229
230
231
232
233
234
235
236
237
238
239
240
241
242
243
244
245
246
247
248
249
250
251
252
253
254
255
256
257
258
259
260
261
262
263
264
265
266
267
268
269
270
271
272
273
274
275
276
277
278
279
280
281
282
283
284
285
286
287
288
289
290
291
292
293
294
295
296
297
298
299
300
301
302
303
304
305
306
307
308
309
310
311
312
313
314
315
316
317
318
319
320
321
322
323
324
325
326
327
328
329
330
331
332
333
334
335
336
337
338
339
340
341
342
343
344
345
346
347
348
349
350
351
352
353
354
355
356
357
358
359
360
361
362
363
364
365
366
367
368
369
370
371
372
373
374
375
376
377
378
379
380
381
382
383
384
385
386
387
388
389
390
391
392
393
394
395
396
397
398
399
400
401
402
403
404
405
406
407
408
409
410
411
412
413
414
415
416
417
418
419
420
421
422
423
424
425
426
427
428
429
430
431
432
433
434
435
436
437
438
439
440
441
442
443
444
445
446
447
448
449
450
451
452
453
454
455
456
457
458
459
460
461
462
463
464
465
466
467
468
469
470
471
472
473
474
475
476
477
478
479
480
481
482
483
484
485
486
487
488
489
490
491
492
493
494
495
496
497
498
499
500
501
502
503
504
505
506
507
508
509
510
511
512
513
514
515
516
517
518
519
520
521
522
523
524
525
526
527
528
529
530
531
532
533
534
535
536
537
538
539
540
541
542
543
544
545
546
547
548
549
550
551
552
553
554
555
556
557
558
559
560
561
562
563
564
565
566
567
568
569
570
571
572
573
574
575
576
577
578
579
580
581
582
583
584
585
586
587
588
589
590
591
592
593
594
595
596
597
598
599
600
601
602
603
604
605
606
607
608
609
610
611
612
613
614
615
616
617
618
619
620
621
622
623
624
625
626
627
628
629
630
631
632
633
634
635
636
637
638
639
640
641
642
643
644
645
646
647
648
649
650
651
652
653
654
655
656
657
658
659
660
661
662
663
664
665
666
667
668
669
670
671
672
673
674
675
676
677
678
679
680
681
682
683
684
685
686
687
688
689
690
691
692
693
694
695
696
697
698
699
700
701
702
703
704
705
706
707
708
709
710
711
712
713
714
715
716
717
718
719
720
721
722
723
724
725
726
727
728
729
730
731
732
733
734
735
736
737
738
739
740
741
742
743
744
745
746
747
748
749
750
751
752
753
754
755
756
757
758
759
760
761
762
763
764
765
766
767
768
769
770
771
772
773
774
775
776
777
778
779
780
781
782
783
784
785
786
787
788
789
790
791
792
793
794
795
796
797
798
799
800
801
802
803
804
805
806
807
808
809
810
811
812
813
814
815
816
817
818
819
820
821
822
823
824
825
826
827
828
829
830
831
832
833
834
835
836
837
838
839
840
841
842
843
844
845
846
847
848
849
850
851
852
853
854
855
856
857
858
859
860
861
862
863
864
865
866
867
868
869
870
871
872
873
874
875
876
877
878
879
880
881
882
883
884
885
886
887
888
889
890
891
892
893
894
895
896
897
898
899
900
901
902
903
904
905
906
907
908
909
910
911
912
913
914
915
916
917
918
919
920
921
922
923
924
925
926
927
928
929
930
931
932
933
934
935
936
937
938
939
940
941
942
943
944
945
946
947
948
949
950
951
952
953
954
955
956
957
958
959
960
961
962
963
964
965
966
967
968
969
970
971
972
973
974
975
976
977
978
979
980
981
982
983
984
985
986
987
988
989
990
991
992
993
994
995
996
997
998
999
1000
```

Figura 21: Controle PID e PID2DOF parte 1

Fonte: Própria

```

PID_Estufa
51
52 // Soma tudo
53 pid = P + I + D;
54
55 if (pid >=255) pid = 255;
56 else if (pid <= 0) pid = 0;
57
58
59 return pid;
60 }
61 };
62
63 //double A = 0.25*0.25; //area da estrutura
64 // double Vmax = 20.63; // variavel maxima
65 double Tmax= 75.00;
66 double setpoint_temp = 39; // temperatura desejada
67 int controlePwm; // pwm do motor
68
69 #define pCONTROLE 9
70 PID meuPid(-195, 0.02, 12.5); // ajuste Kp,Ki,Kd
71 const int LM35 = A0; // Define o pino que lera a saída do LM35


73 void setup()
74 {
75   Serial.begin(9600);
76   meuPid.setSetPoint(setpoint_temp);
77   meuPid.addNewSample(1000);
78   pinMode(pCONTROLE, OUTPUT);
79 }
80
81
82 void loop()
83 {
84
85   double temp = (float(analogRead(LM35))*5/(1023))/0.01; // solicitar temperatur do lm35
86   meuPid.addNewSample(temp);
87   controlePwm = (meuPid.process());
88   analogWrite(pCONTROLE, controlePwm);
89   int Pwm = map(controlePwm, 0,65,0,255);
90   Serial.println(temp);
91   //Serial.print("    ,");
92   //Serial.print(setpoint_temp);
93   //Serial.print("    ,");
94   Serial.println(Pwm/10);
95   delay(1000);
96 }

```

Figura 22: Controle PID e PID2DOF parte 2

Fonte: Própria

2.25 Discretização da lei de controle

A discretização foi feita em cima do modelo obtido com alocação de polos através do Matlab utilizando a função ‘c2dm’ com método Tustin.

```

18 %% Discretizacao
19 - numS = [-0.9736];
20 - denS = [2500 125 1];
21 - Ts = 0.1;
22 - [numZ,denZ] = c2dm(numS,denS,Ts,'tustin')

```

```

Command Window

Gpid =

      -0.9736
      -----
      2500 s^2 + 125 s + 1

Continuous-time transfer function.

numZ =

      1.0e-05 *
      -0.0971  -0.1942  -0.0971

denZ =

      1.0000  -1.9950  0.9950

```

Figura 23: Discretização

Fonte: Própria.

2.26 Projeto usando lugares das raízes

O LGR foi obtido através da função rlocus do Matlab. Temos apenas 2 polos e o sistema é estável, pois, encontram-se no semi-plano-esquerdo.

```

%% LGR
Ke= -0.9736;
num=Ke;
den=[2500 125 1];
G=tf(num,den)
%step(G);

```

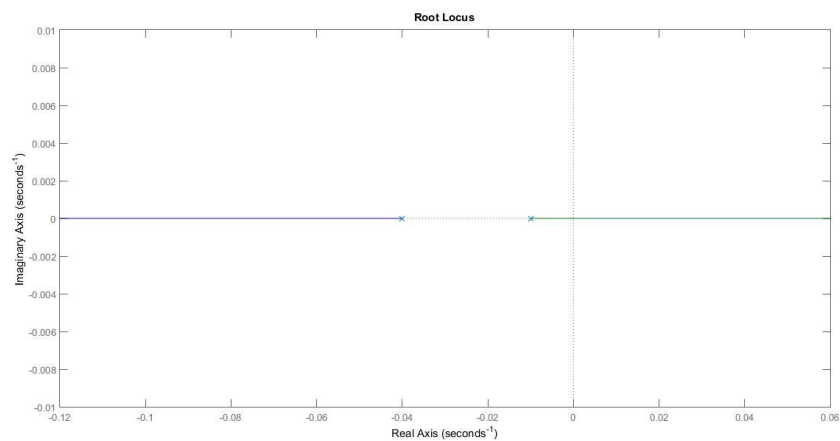


Figura 24: LGR

Fonte: Própria

2.27 Comparação do desempenho dos controladores

Antes de comparar o desempenho dos controladores vale lembrar que o modelo obtido tem ganho negativo, já que a temperatura é inversa a ação do ventilador, a curva em rosa é a ação de controle, a curva em amarelo é o PWM aplicado ao ventilador e em azul trata-se da medição de temperatura. Um outro ponto a considerar é que nesse sistema não é interessante aplicar perturbações, a temperatura é uma variável muito lenta, então por mais que se aplique perturbações o sistema irá demorar a responder, mas conseguirá retornar a referência, em qualquer um dos controladores abaixo.

Todos os controladores foram aplicados ao mesmo ensaio, temperatura inicial de aproximadamente 50°C com a lâmpada ligada, e o controle começa a atuar assim que o sistema é ligado.

O primeiro teste foi realizado com controle proporcional que obteve uma resposta satisfatória como podemos observar na imagem abaixo ,mas que demorou a chegar próximo ao Setpoint e ele não atinge o Setpoint pois o erro estacionário não permite que se atinja perfeitamente o valor desejado, porém, se um pequeno erro for aceitável em um sistema em relação ao valor desejado e não houvesse problema com o tempo até atuação ,seria um controle útil, por ser simples.

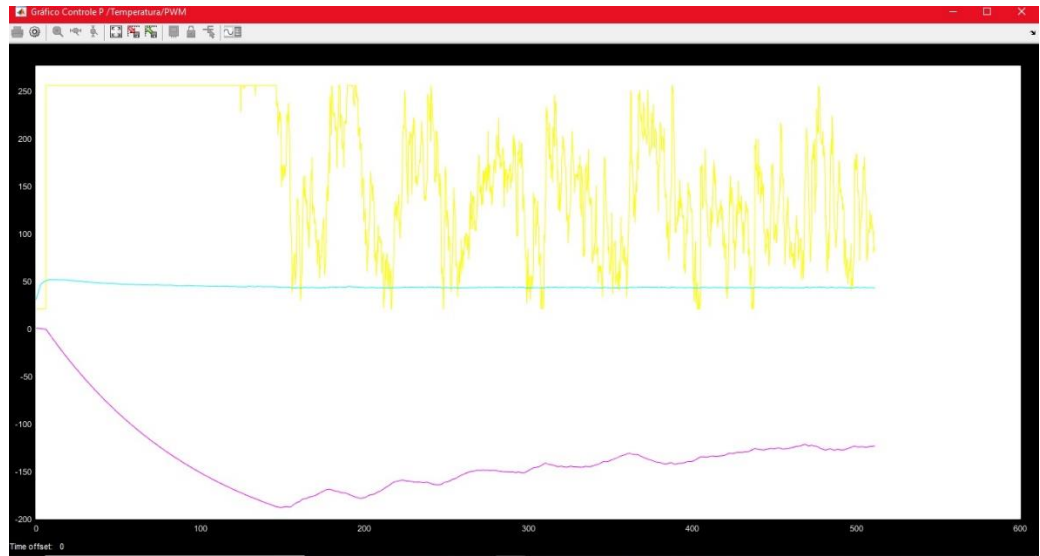
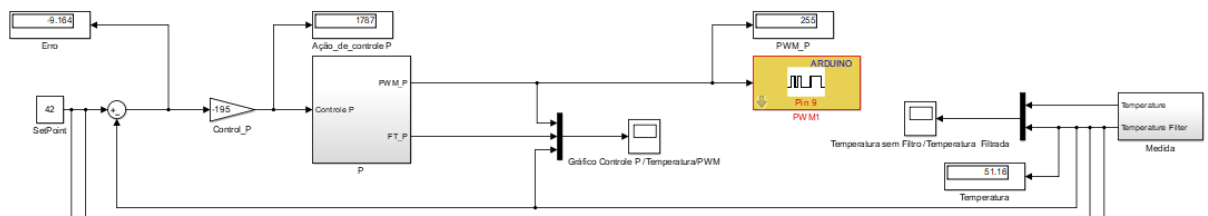


Figura 25: Diagrama de Blocos e Gráficos Controle P

Fonte: Própria

Já para o controle proporcional integral foi adicionado um integrador ao sistema que tem como objetivo corrigir o erro estacionário, como podemos ver na imagem, trata-se de uma respostas mais rápida que o controle proporcional, mas não atingiu o Setpoint também, provavelmente o controlador elaborado não era o mais indicado, pois, instabilizava com facilidade se os parâmetros de K_p e T_d fossem minimamente alterados, mas apresentou resposta melhor que o controlador proporcional em questão de tempo.

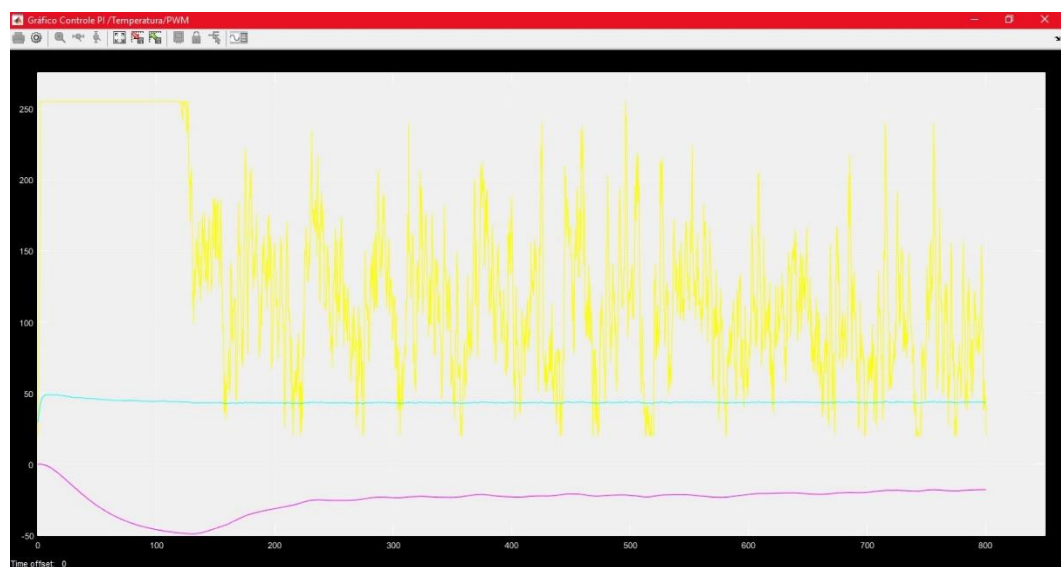
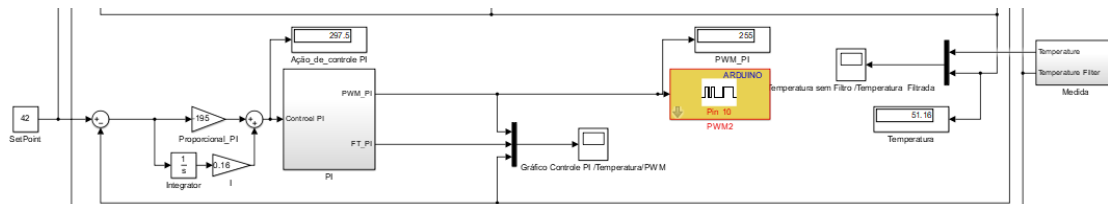


Figura 26:Diagrama de Blocos e Gráficos Controle PI

Fonte: Própria

E o último controlador é o controle PID, onde temos a ação derivativa. Foi o que apresentou melhor resposta em questão de atingir o valor do Setpoint e o tempo que levou para atingi-lo, portanto seria o controle mais indicado para este sistema.

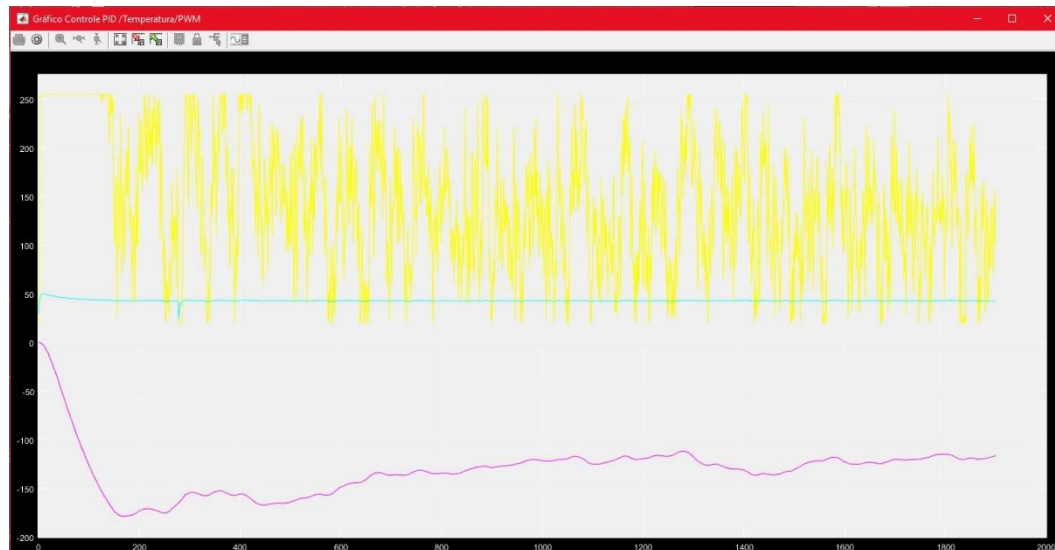
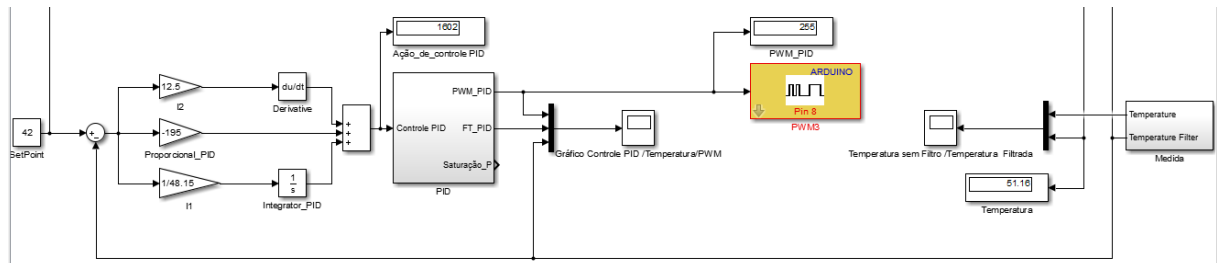


Figura 27: Diagrama de Blocos e Gráficos Controle PID

Fonte: Própria

2.28 PID - Industrial: Tratando Saturação e modo de seguimento

Devido a limitações físicas, é necessário adicionar saturador ao sistema, pois, ação de controle no atuador só pode atuar entre 20 a 255, sendo 20 o limite mínimo em que o ventilador consegue rodar, abaixo disso não existe controle, e o limite superior é o 255 que é o máximo de fluxo que o ventilador suporta. Mas o que faremos com essa ação de controle quando ela for maior que 255, podemos usar o AntiWindup que é uma correção e melhora o controle, essa ferramenta vai conectada ao integrador como pode se observar na imagem abaixo.

2.29 Trabalhos Futuros

Como trabalhos futuros fica o segmento deste projeto podendo incluir outros tipos de controle como controle em cascata, antecipativo, controle avançado e outros, seria interessante adicionar mais variáveis ao sistema tanto de medição quanto de atuação, poderia ser por exemplo a umidade dentro do sistema tornando-se um sistema multivariável e assim mais complexo.

Outra melhoria seria utilizar um display que se indica a temperatura e a ação do ventilador podendo assim acompanhar o sistema sem a necessidade de se ter um computador do lado, seria um sistema embarcado.

Trocar o sensor de temperatura por um que tenha maior estabilização na leitura, um grande problema deste projeto foi o ruído na leitura dos dados e a troca do sensor de temperatura seria interessante.

3. Conclusão

O projeto permitiu realizar um comparativo de sistemas de controle, neste caso o controle PID foi o mais indicado devido as suas características, como a temperatura é uma variável lenta e era necessário acelerar o sistema sem que se ocorresse a instabilização o controle PID teve a melhor resposta. Trabalhar com sistemas térmicos é interessante porque são processos muito comuns na indústria e este projeto deu uma noção de como cada característica externa pode afetar.

Outro tópico fundamental deste trabalho são as diferenças dos modelos reais e dos modelos teóricos, houve grande diferença dos controles calculados, sistemas não lineares são complexos e os parâmetros devem ser calculados como referencial de onde partir, mas não são garantia que aquele sistema vai funcionar exatamente como foi projetado.

4. Bibliografia

1. SILVEIRA, C. B. Citisystems. **O que é PWM e Para que Serve?** Disponível em: <<https://www.citisystems.com.br/pwm/>>. Acesso em: 13 de Abril de 2019.
2. FREITAS, C. M. Embarcados. **Controle PID em sistemas embarcados**, 2014. Disponível em: <<https://www.embarcados.com.br/controle-pid-em-sistemas-embarcados/>>. Acesso em: 13 de Abril de 2019.
3. THORLABS. **PID Basics**. Disponível em: <<https://www.thorlabs.com/tutorials.cfm?tabID=5dfca308-d07e-46c9-baa0-4defc5c40c3e>>. Acesso em: 13 de Abril de 2019.
4. AQEEL, A. Introduction to Arduino Mega 2560. **Theengineeringprojects**, 2018. Disponível em: <<https://www.theengineeringprojects.com/2018/06/introduction-to-arduino-mega-2560.html>>. Acesso em: 13 de Abril de 2019.
5. USINAINFO. Usinainfo. **Sensor de temperatura LM35 para Projetos**. Disponível em: <<https://www.usinainfo.com.br/sensor-de-temperatura-arduino/sensor-de-temperatura-lm35-para-projetos-3099.html>>. Acesso em: 18 de fevereiro de 2019.
6. C2O. **Sistema Didático com Bombeamento, Comutação e Detecção**. Disponível em: <<http://www.c2o.pro.br/hackaguas/ar01s09.html>>. Acesso em: 13 de Abril de 2019.
7. PHR. **Alocação de polos para sistemas de 2ª ordem**. Automação, controle e instrumentação para o setor do Petróleo e Gas. Florianópolis-SC, p. 1-8.
8. SOUZA, F. Embarcados. **Arduino MEGA 2560**, 2014. Disponível em: <<https://www.embarcados.com.br/arduino-mega-2560/>>. Acesso em: 13 de Abril de 2019.